

СХІДНОУКРАЇНСЬКИЙ НАЦІОНАЛЬНИЙ УНІВЕРСИТЕТ
імені Володимира Даля

Факультет інженерії
(повне найменування факультету)

Кафедра хімічної інженерії та екології
(повна назва кафедри)

ПОЯСНЮВАЛЬНА ЗАПИСКА

до кваліфікаційної магістерської роботи

освітнього ступеня магістр
(бакалавр, магістр)

спеціальності 101 – Екологія
(шифр і назва спеціальності)

на тему: Розробка заходів зі зниження викидів пилу при роботі енергоблоків ТЕС

Виконав: здобувач вищої освіти групи ПЕО-19зм

Зубцов Є.І.
(прізвище, та ініціали) _____
(підпис)

Керівник Суворін О.В.
(прізвище та ініціали) _____
(підпис)

Завідувач кафедрою Суворін О.В.
(прізвище та ініціали) _____
(підпис)

Рецензент Мохонько В.І.
(прізвище та ініціали) _____
(підпис)

Северодонецьк - 2021 р.

**СХІДНОУКРАЇНСЬКИЙ НАЦІОНАЛЬНИЙ УНІВЕРСИТЕТ
імені Володимира Даля**

Факультет _____ інженерії _____
Кафедра _____ хімічної інженерії та екології _____
Освітній ступінь _____ магістр _____
(бакалавр, магістр)
Спеціальність _____ 101 – Екологія _____
(шифр і назва)

ЗАТВЕРДЖУЮ:

Зав. кафедрою ХІЕ

О.В. Суворін

“ _____ ” _____ 2020 р.

З А В Д А Н Н Я

НА КВАЛІФІКАЦІЙНУ МАГІСТЕРСЬКУ РОБОТУ ЗДОБУВАЧУ ВИЩОЇ ОСВІТИ

Зубцову Євгену Івановичу

1. Тема роботи:

Розробка заходів зі зниження
викидів пилу
при роботі енергоблоків ТЕС

Керівник роботи _____ Суворін Олександр Вікторович, д.техн.н., проф.
(прізвище, ім'я, по батькові, науковий ступінь, вчене звання)

затверджені наказом по університету від 19.11.2020 р. № 163/15.25

2. Строк подання здобувачем вищої освіти роботи - 15 січня 2021 р.

3. Вихідні дані до роботи: літературні, патентні та регламентні дані.

4. Зміст розрахунково-пояснювальної записки (перелік питань, які потрібно зробити):

Вступ. 1. Аналітичний огляд. 2. Обґрунтування обраного напрямку досліджень.
3. Теоретична частина. 4. Експериментальна частина. 5. Прикладна частина. 6. Охорона праці. 7. Еколого-економічні розрахунки. Висновки. Анотація. Література.

5. Перелік графічного матеріалу (з точним зазначенням обов'язкових креслень):

1. Схема лабораторної установки (1 листи).
2. Дослідницькі данні (4 листи).
3. Технологічна схема (1 лист).
4. Реактор окислення вугілля в розплаві. Вид загальний (1 лист).

6. Дата видачі завдання – 20 листопада 2020 року.

КАЛЕНДАРНИЙ ПЛАН

Пор №	Назва етапів кваліфікаційної магістерської роботи	Термін виконання етапів роботи	Примітка
1	Вступ	25.11.2020	
2	Аналітичний огляд	01.12.2020	
3	Обґрунтування обраного напрямку досліджень	08.12.2020	
4	Теоретична частина	11.12.2020	
5	Експериментальна частина	17.12.2020	
6	Прикладна частина	23.12.2020	
7	Охорона праці	30.12.2020	
8	Еколого-економічні розрахунки	06.01.2021	
9	Висновки	14.01.2020	

Здобувач вищої освіти

_____ Зубцов Є.І.
(підпис) (прізвище та ініціали)

Керівник роботи

_____ Суворін О.В.
(підпис) (прізвище та ініціали)

Реферат

Магістерська робота на тему «Розробка заходів зі зниження викидів пилу при роботі енергоблоків ТЕС» складається з пояснювальної записки, що містить ___ сторінок, 26 таблиць, 19 рисунків, використано 28 найменувань літературних джерел. Графічна частина – 7 листів.

ВИКИД, РІДКИЙ ВИСОКОТЕМПЕРАТУРНИЙ ТЕПЛОНОСІЙ, НАВКОЛИШНЄ СЕРЕДОВИЩЕ, СПАЛЕННЯ, ЗНЕШКОДЖЕННЯ, ОКСИДИ ВУГЛЕЦЮ, СИНТЕЗ-ГАЗ, КОНВЕРСІЯ, ВУГЛЕЦЕВИЙ ЗАЛИШОК, ВУГІЛЛЯ

В роботі розглянуті сучасні процеси спалення вугілля на енергоблоках ТЕС. Саме окиснення твердих корисних копалин завдає значної шкоди навколишньому середовищу: великі обсяги викиду пилу та зважених часток, димові гази, що містять продукти не повного окислення, монооксид вуглецю, оксиди нітрогену та ін. На сьогодні в Україні більшість ТЕС в якості сировини використовують вугілля. Тому доцільна розробка альтернативних технологій переробки твердих горючих копалин в теплову, електричну енергії та/або технологічні гази.

Проведені експериментальні дослідження процесів окиснення, конверсії твердих горючих копалин в рідкому високотемпературному теплоносії. Організація процесів в розплаві дозволить забезпечити максимальну глибину переробки вугілля з мінімальним викидом. Виконаний аналітичний огляд науково-технічної літератури методів переробки твердої викопної сировини, розглянуто впливу відходів на природне середовище. В практичній частині запропонована технологічна схема стадії окиснення, виконані матеріальний баланс, описана конструкція реакторного вузла. Розглянуті питання з охорони праці на виробництві, визначені шкідливі фактори, запропоновані шляхи їх зменшення.

					<i>PM 01.01. ПЗ</i>			
<i>Зм.</i>	<i>Арк.</i>	<i>№ докум.</i>	<i>Підпис</i>	<i>Дата</i>	<i>Реферат</i>	<i>Літ.</i>	<i>Аркуш</i>	<i>Аркушів</i>
<i>Розроб.</i>		<i>Зубцов Є.І.</i>						
<i>Перев.</i>		<i>Суворін О.В.</i>						
<i>Консульт.</i>								
<i>Н. Контр.</i>								
<i>Затв.</i>		<i>Суворін О.В.</i>				<i>СНУ ім. В.Даля гр. ПЕО-19зм</i>		

Зміст

Вступ

1 Аналітичний огляд

2 Обґрунтування обраного напрямку досліджень

3 Теоретична частина

4 Експериментальна частина

5 Прикладна частина

6 Охорона праці

7 Еколого-економічні розрахунки

Висновки

Анотації

Література

					<i>РМ 01.01. ПЗ</i>			
<i>Зм.</i>	<i>Арк.</i>	<i>№ докум.</i>	<i>Підпис</i>	<i>Дата</i>	<i>Зміст</i>	<i>Літ.</i>	<i>Аркуш</i>	<i>Аркушів</i>
<i>Розроб.</i>		<i>Зубцов Є.І.</i>						
<i>Перев.</i>		<i>Суворін О.В.</i>						
<i>Консульт.</i>								
<i>Н. Контр.</i>								
<i>Затв.</i>		<i>Суворін О.В.</i>						
						<i>СНУ ім. В.Даля гр. ПЕО-19зм</i>		

Вступ

Основні джерела забруднення повітря міст – теплоелектростанції (ТЕС) і автомобільний транспорт. Наприклад, на частку автотранспорту припадає близько 40% загального забруднення атмосфери. Приблизно стільки ж припадає на частку ТЕС. Тільки за одну годину роботи ТЕС середньої потужності спалює більше 80 т вугілля і викидає в атмосферу приблизно 5 т сірчистого газу і 16-17 т золи. ТЕС, що працюють на нафті, практично не викидають золи, але вміст сірки в їх викидах досить помітний. Найбільш екологічно чистим видом енергетичного палива на сьогодні є природний газ. При його спалюванні істотно забруднюють атмосферу оксиди нітрогену, але їх викид в середньому виявляється на 20% менше, ніж при спалюванні вугілля. Глобальне зростання споживання нафти і природного газу як енергоносіїв і сировини для промисловості став необхідною умовою розвитку держав. Однак ці продукти нерівномірно розміщені по території Землі. Починаючи з 70-х років минулого століття, створилися умови постійного зростання цін на світовому ринку нафти і газу. Очевидно, що природний газ - найбільш екологічно чистий вид палива. Однак природний газ є цінною сировиною для хімічних галузей, тому його широке застосування на ТЕС недоцільно.

Більшість країн світу мають запаси вугілля. Україна належить до країн, які володіють великими запасами вугілля і обмеженим ресурсом вуглеводневих палив. Сформовані умови – фінансова криза і необхідність відновлення виробництва – змусили багато, навіть розвинені країни фінансувати роботи по переробці вугілля. Актуальною стає задача організації робіт з максимальної заміни нафти і газу вугілля. Про це говорять багато політичних діячів і в Україні.

					<i>PM 01.01. ПЗ</i>			
<i>Зм.</i>	<i>Арк.</i>	<i>№ докум.</i>	<i>Підпис</i>	<i>Дата</i>	<i>Вступ</i>	<i>Літ.</i>	<i>Аркуш</i>	<i>Аркушів</i>
<i>Розроб.</i>		<i>Зубцов Є.І.</i>						
<i>Перев.</i>		<i>Суворін О.В.</i>						
<i>Консульт.</i>								
<i>Н. Контр.</i>								
<i>Затв.</i>		<i>Суворін О.В.</i>			<i>СНУ ім. В.Даля гр. ПЕО-19зм</i>			

1 Аналітичний огляд

Перспективною в області глибокої переробки вуглеводневої сировини представляється газифікація низькосортних твердих палив та вуглецевих залишків для отримання різних продуктів: горючого газу, моторних палив, цінних хімічних вуглеводневих сполук, металів, будівельних матеріалів, брикетів, добрив. В даному розділі наведені сучасні розробки з переробки твердих корисних копалин у світі, зокрема Японії, Казахстані, Росії та Україні.

Виробництво електроенергії з використанням комбінованого циклу з попередньою газифікацією вугілля в даний час привертає серйозну увагу як інноваційна технологія утилізації вугілля, що дозволяє підвищити ККД і поліпшити екологічні показники електростанції, забезпечуючи її відповідність жорстким вимогам енергетичної та екологічної безпеки.

З 1991 по 1996 рр. в Японії здійснювалася експлуатація експериментальної електростанції комбінованого циклу з внутрішньоцикловою газифікацією вугілля, потужністю 200 тон вугілля в день (спільне напрацювання за вказаний період склало 4 770 годин). Ця станція стала інноваційним проектом національного значення. Виходячи з успішного досвіду її експлуатації, в 2001 р. десять японських енергокомпаній заснували підприємство «Clean CoalPower R&D Co., Ltd.» («ССР»), яке повинно стати експлуатуючою організацією демонстраційної дослідно-промислової електростанції потужністю 250 МВт, мета будівництва якої – підтвердити надійність, простоту в експлуатації і обслуговуванні, безпеку і економічність подібної установки. Для реалізації цього національного проекту компанією «ССР» була вибрана технологія газифікації з повітряним дуттям під тиском на основі двоступеневого внутрішньоциклового газифікатора з сухим завантаженням вугілля виробництва компанії «Mitsubishi Heavy Industries Ltd.» («МНІ»).

					<i>PM 01.01. ПЗ</i>					
<i>Зм.</i>	<i>Арк.</i>	<i>№ докум.</i>	<i>Підпис</i>	<i>Дата</i>	<i>Аналітичний огляд</i>					
<i>Розроб.</i>		<i>Зубцов Є.І.</i>						<i>Літ.</i>	<i>Аркуш</i>	<i>Аркушів</i>
<i>Перев.</i>		<i>Суворін О.В.</i>								
<i>Консульт.</i>										
<i>Н. Контр.</i>										
<i>Затв.</i>		<i>Суворін О.В.</i>								
					<i>СНУ ім. В.Даля гр. ПЕО-19зм</i>					

подібних станцій більшої потужності з відмінними показниками ефективності, екологічної чистоти і економічності, що стане важливим внеском в забезпечення енергетичної безпеки і охорони навколишнього середовища у всьому світі.

В даний час в Казахстані виявлено 25 родовищ горючих сланців. Як альтернативні джерела енергії хороші перспективи мають горючі сланці Кендирликського родовища, що знаходиться в Східному Казахстані, з запасами близько 4 млрд тонн [6].

Одним з основних переваг горючих сланців перед іншими видами твердого палива є висока атомне співвідношення Н/С в їх органічній масі. Даний показник в деяких випадках становить 1,7 (нафта 1,9; вугілля 0,4-0,5). У Кендирликських сланців атомне співвідношення Н/С становить 1,18-1,53. Це особливо важливо для отримання різних рідких вуглеводнів в синтезі Фішера-Тропша, де мольное співвідношення H_2/CO в синтез-газі варіюється в межах від 1 до 3.

Результати досліджень вчених показують доцільність газифікації горючих сланців Кендирликського родовища для отримання піролізного газу, який за своїми показниками цілком придатний для виробництва полімерних з'єднань [7].

Серед різних технологій газифікації твердих палив перспективною є безвідходна, енергозберігаюча та екологічна технологія газифікації в шлаковому розплаві, що барботується парокисневим дуттям. Дана технологія дозволяє переробляти низькосортні види твердого палива.

Суть даної технології полягає в організації процесу газифікації твердого палива в обсязі власного рідкого шлаку, який барботують дуттям, збагаченим киснем.

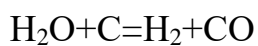
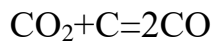
При цьому газифікацію вуглецю твердого палива в шлаковому розплаві можна розглядати як неповне окислення вуглецю. В якості агентів окисників найбільш часто використовують O_2 (1.1), CO_2 (1.2) і H_2O (1.3):



					<i>PM 01.01. ПЗ</i>	<i>Арк.</i>
<i>Зм.</i>	<i>Арк.</i>	<i>№ докум.</i>	<i>Підпис</i>	<i>Дата</i>		

Внаслідок обох реакцій одержуємо змішаний генераторний газ, який складається із CO, H₂ та N₂. Водночас з наведеними вище реакціями при газифікації вугілля у верхніх шарах буде відбуватися його суха перегонка з виділенням летких.

Водночас пирітна та органічна сірка буде утворювати леткі сполуки H₂S. Якщо розглянути умови рівноваги реакції в температурному інтервалі 500-1000°C, можна визначити оптимальний температурний режим процесу генерування.



Таким чином, при температурі вище 1000°C реакції протікають цілком зліва направо. Для стабілізації процесу необхідно підтримувати температуру в нижньому шарі вугілля у інтервалі 1000-1200°C. З мірою того, як вугілля нижнього шару цілком прореагує, утворюється зола, яка під тиском ваги стовпа вугілля опускається донизу до золодробарок, де здрібнюється та за допомогою шнека випроваджується з робочого простору.

Водночас здійснюється довантаження генератора вугіллям через живитель. Процес ведеться безперервно. При просуванні шару по шахті в нижній частині можуть утворитися спеки, для руйнування яких, призначені золодробарки. Для виключення ушкодження сегментів їх лопаті виконані у вигляді сегментних поверхонь, встановлених з кроком 100 мм на поверхнях, які обертаються. У випадку їх заклинювання вмикається реверс, і після руйнування спека вони перемикаються на звичайний режим роботи. Відведення генераторного газу здійснюється із підготовленої зони, вище рівня шихти, по засобах 2-х газоприймачів, з'єднаних з головною трубою генераторного газу.

Вугілля в приймальний бункер з трубою-живителем подається стрічковим конвеєром із бункера шихтового подвір'я, в який він навантажується 5-тонним мостовим краном, за допомогою грейфера з приямка.

					<i>PM 01.01. ПЗ</i>	<i>Арк.</i>
<i>Зм.</i>	<i>Арк.</i>	<i>№ докум.</i>	<i>Підпис</i>	<i>Дата</i>		

2 Вибір та обґрунтування природоохоронного заходу

На кафедрі хімічної інженерії та екології Східноукраїнського національного університету імені Володимира Даля розробляється технологія синтез-газу з вугілля та окиснення киснем повітря в розплаві теплоносія під керівництвом заслуженого діяча науки і техніки України д.т.н., проф. Глікiна Марата Ароновича. Дана технологія полягає в наступному.

Спосiб одержання синтез-газу шляхом парової газифікації вуглецевої сировини у реакторі, що включає зону конверсії і зону окислення у розплаві теплоносія при підтримуванні температури у зоні окислення вище, ніж у зоні конверсії, який відрізняється тим, що процес конверсії органічної частини вуглецевої сировини відбувається у зоні конверсії реактора за рахунок теплової енергії, яка утворюється у зоні окислення реактора і безперервно надходить з циркулюючим між зонами теплоносієм, а теплоносій перед виводом із реактора проходить зону доокислення вуглецю із розплаву теплоносія.

Запропонована технологія стосується способу хімічного перетворення твердої вуглецевої сировини, зокрема вугілля, у синтез-газ, що вміщує в основному водень і монооксид вуглецю, з використанням рідкого високотемпературного теплоносія і може використовуватися у паливно - енергетичній, хімічній та суміжних галузях промисловості.

В основу поставлена технічна задача створення такого способу одержання синтез-газу, в якому завдяки проведенню безперервного процесу газифікації вуглецевої сировини і використанню трьохзонного реактора з циркулюючим між зонами розплавом теплоносія при певній температурі, концентрації вуглецю, висоті теплоносія, уся органічна маса вуглецевої сировини переробляється у синтез-газ і газ окислення, при цьому спрощується процес і поліпшуються техніко - економічні показники.

					<i>PM 01.01. ПЗ</i>			
<i>Зм.</i>	<i>Арк.</i>	<i>№ докум.</i>	<i>Підпис</i>	<i>Дата</i>	<i>Вибір та обґрунтування природоохоронного заходу</i>	<i>Літ.</i>	<i>Аркуш</i>	<i>Аркушів</i>
<i>Розроб.</i>		<i>Зубцов Є.І.</i>						
<i>Перев.</i>		<i>Суворін О.В.</i>						
<i>Консульт.</i>								
<i>Н. Контр.</i>								
<i>Затв.</i>		<i>Суворін О.В.</i>			<i>СНУ ім. В.Даля гр. ПЕО-19зм</i>			

Зм.	
Арк.	
№ док-м.	
Підпис	
Дата	
РМ 01.01. ПЗ	
Арк.	

Таблиця 2.1 – Показники парової конверсії вугілля в розплаві теплоносія

№	Процес	Температура, °C	Газифікуючий агент					Склад продуктів реакції						Вихід синтез-газу, м ³ /т	Ступінь перетворення вуглецю, %
			Кріогенний кисень (%мас.)			Витрата кисню, моль/год	Витрата води, моль/год	H ₂	CO	N ₂	Ar	CO ₂	CH ₄		
			Ar	O ₂	N ₂										
1	Газифікація вуглецю	1300 до 1600 ⁰ C	1,7	98,0	0,3	1659,0	380,8	23,0	76,5	0,1	0,5	-	-	1923	-
Зона парової конверсії															
2	Газифікація без насадки газове вугілля	1000	-	-	-	-	2,13	43	30,5	-	-	16,3	10,2	3283	99
3			-	-	-	-	4,74	46,2	32,9	-	-	13,6	7,3	2549	73,4
4			Газифікація без насадки сажа	940	-	-	-	-	0,66	76,4	19,5	-	-	3,5	0,6
5	-	-	-		-	1,57	78,8	16,1	-	-	4,6	0,5	-	-	
6	-	-	-		-	2,13	80,4	14	-	-	5,1	0,5	-	-	
7	-	-	-		-	4,74	79,5	11,4	-	-	8,5	0,6	-	-	
8	Газифікація з насадкою сажа	940	-	-	-	-	0,66	71,9	25,9	-	-	1,1	1,1	3260	-
9			-	-	-	-	1,57	73,5	22,2	-	-	3,1	1,2	-	-
10			-	-	-	-	2,13	75,3	20,3	-	-	3,6	0,9	-	-
11			-	-	-	-	4,74	76,3	16,9	-	-	6,1	0,6	-	-

На стадії окислення вуглецевої сировини (таблиця 2.2) у продуктах реакції містяться монооксид і діоксид вуглецю. Збільшення витрати повітря приводить до зменшення кількості монооксиду вуглецю, і в продуктах окислення міститься діоксид вуглецю та непрореагований кисень (приклади 3 – 11). Присутність насадки дозволяє збільшити навантаження по сировині на одиницю реакційного об'єму (приклади 8 – 11).

Таблиця 2.2 – Зона окислення киснем повітря вуглецевої сировини

Приклад	Температура, °С	Витрата окислювача, л/год	Витрата сировини, г/год	Склад продуктів окислення, %об.			
				O ₂	N ₂	CO	CO ₂
1		-	-	-	-	-	-
2	1100	33	7	5	79	2,2	13,9
3	1100	43,8	7	6,3	78,5	1,0	14,2
4	1020	20	0,1	5,2	79,0	1,9	13,9
5	1020	20	0,1	1,3	79,0	1,1	18,6
6	1020	40	0,1	13,6	79,0	0,4	7,0
7	1020	13,5	1,24	2,3	79,0	10,6	8,1
8	1020	12,5	5,7	3,7	79,0	10,4	6,9
9	1020	20,5	5,7	4,2	79,0	6,5	10,3
10	1020	31,5	5,7	6,2	79,0	3,5	11,3
11	1020	43	5,7	14,7	79,0	1,1	5,2

При доокисленні киснем повітря залишкового вуглецю (табл. 2.3) із розплава теплоносія у продуктах реакції містяться монооксид і діоксид вуглецю. Збільшення концентрації вуглецю у розплаві теплоносія приводить до збільшення вмісту оксидів вуглецю в продуктах реакції (приклади 1 – 3).

Таблиця 2.3 – Зона доокислення киснем повітря

№	Температура, °С	Початкова конц-ія вуглецю, Г/Гтеплоносія	Витрата окислювача, л/год	Висота точки вводу окислювача, мм	Склад продуктів окислення, %об.			
					O ₂	N ₂	CO	CO ₂
1	2	3	6	7	8	9	10	11
1	1020	0,088	0,32	60	6,7	79,0	3,2	11,1
2	1020	0,076	0,32	60	12,0	79,0	1,7	7,3
3	1020	0,052	0,32	60	13,2	79,0	0,8	7,0
4	1020	0,05	0,32	35	16,7	79,0	0,0	4,3
5	1020	0,05	0,32	55	10,4	79,0	2,6	8,0
6	1020	0,05	0,32	70	6,3	79,0	4,8	9,9

3. Теоретична частина

3.1 Загальна характеристика ТЕС

Електроенергію виробляють на електростанціях за рахунок використання енергії, схованої в різних природних ресурсах. Це відбувається в основному на теплових (ТЕС), працюючих по тепловому циклу.

Типи теплових електростанцій

За видом генерованої і відпускну енергії теплові електростанції поділяють на два основних типи: конденсаційні (КЕС), призначені тільки для виробництва електроенергії, і теплофікаційні, або теплоелектроцентралі (ТЕЦ). Конденсаційні електричні станції, що працюють на органічному паливі, будують поблизу місць його добування, а теплоелектроцентралі розміщують поблизу споживачів тепла – промислових підприємств і житлових масивів. ТЕЦ також працюють на органічному паливі, але на відміну від КЕС виробляють як електричну, так і теплову енергію у вигляді гарячої води і пари для виробничих і теплофікаційних цілей. До основних видів палива цих електростанцій відносяться: тверде – кам'яне вугілля, антрацит, напівантрацит, буре вугілля, торф, сланці; рідке – мазут і газоподібне – природний, коксовий, доменний і т.п. газ. [1]

У залежності від типу теплосилової установки для приводу електрогенератора електростанції поділяються на паротурбінні (ПТУ), газотурбінні (ГТУ), парогазові (ПГУ) і електростанції з двигунами внутрішнього згорання (ДЕС).

У залежності від тривалості роботи ТЕС впродовж року при покритті графіків енергетичних навантажень, які характеризуються числом годин використання встановленої потужності установки електростанції прийнято класифікувати на: базові ($\tau_{уст} > 6000$ год/рік); напівпікові ($\tau_{уст} = 2000-5000$ год/рік); пікові ($\tau_{уст} < 2000$ год/рік).

					<i>РМ 01.01. ПЗ</i>			
<i>Зм.</i>	<i>Арк.</i>	<i>№ докум.</i>	<i>Підпис</i>	<i>Дата</i>	<i>Теоретична частина</i>	<i>Літ.</i>	<i>Аркуш</i>	<i>Аркушів</i>
<i>Розроб.</i>		<i>Зубцов Є.І.</i>						
<i>Перев.</i>		<i>Суворін О.В.</i>						
<i>Консульт.</i>								
<i>Н. Контр.</i>								
<i>Затв.</i>		<i>Суворін О.В.</i>						
						<i>СНУ ім. В.Даля гр.ПЕО-19зм</i>		

смерть дерев є результатом синергетичного ефекту впливу наслідків кислотних дощів в сукупності з іншими причинами.

Можна зробити висновок, що викиди підприємства, що розглядається, дуже негативно впливає на тваринний і рослинний світ.

3.4 Токсикологічна характеристика відходів

Оксид вуглецю (чадний газ) CO . Є продуктом неповного згорання вуглецю. Він утворюється в якості домішки скрізь, де відбувається горіння вуглецевмісних речовин (топка печей, експлуатація двигунів внутрішнього згорання, горіння деревини, горіння полімерних матеріалів та ін.). Гранично допустима концентрація його в повітрі 0,03 мг/л. Токсична концентрація 0,23 мг/л. Гранично допустима концентрація в повітрі робочої зони 20 мг/м³. Клас небезпечності – 4. [1]

Виразна клініка гострого ураження розвивається при утриманні чадного газу в повітрі більше 0,1 об.%. Перебування в атмосфері, що містить 0,01 об.% чадного газу (0,2 мг/л) при фізичному навантаженні допустима не більше 1 години.

Єдиний спосіб надходження газу в організм - інгаляційний. Оксид вуглецю при вдиханні зараженого повітря легко долає аерогематичний бар'єр і проникає в кров. Швидкість насичення крові оксидом вуглецю збільшується при фізичному навантаженні. Виділення оксиду вуглецю з організму відбувається в незміненому стані також через легені. Період напіввиведення становить 2-4 години.

Для людини монооксид вуглецю становить смертельну небезпеку. Його токсична дія пояснюється утворенням в клітинах крові карбоксигемоглобіну- продукту приєднання оксиду вуглецю (II) до гемоглобіну крові. Високий рівень вмісту карбоксигемоглобіну викликає кисневе голодування, недостатнє надходження кисню до головного мозку та інших тканин організму. При слабкій інтоксикації вміст його в крові низький, руйнування природним шляхом

					РМ 01.01. ПЗ	Арк.
Зм.	Арк.	№ докум.	Підпис	Дата		

4 Експериментальна частина

4.1 Розробка та опис експериментальної установки

Для отримання досить надійної інформації про основні закономірності процесу конверсії та окиснення вугілля в розплаві був використаний проточний метод здійснення досліджень. Установа (рис. 4.1) включає кварцовий реактор (1) барботажного типу, поміщений в піч (2).

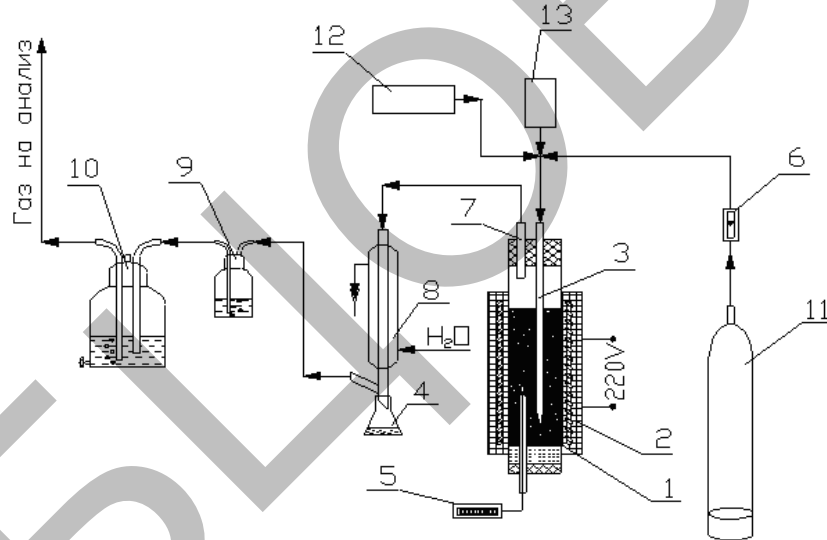


Рисунок 4.1 – Схема лабораторної установки конверсії вуглецевмісних матеріалів в рідкому високотемпературному теплоносії: 1 - реактор з жаростійкої сталі; 2 - електрична піч; 3, 7 - кварцові трубки; 4 - збірник конденсату; 5 - термопара з потенціометром; 6 - ротаметр; 8 - холодильник; 9 - склянка Дрекслея; 10 - посудина Маріотта; 11 - балон з азотом або повітрям; 12 - шприцевий дозатор води; 13 - пневматичний дозатор твердого сировини.

Температура в печі підтримувалася на заданому рівні (1273-1373 К з точністю ± 20 К) за допомогою лабораторного трансформатора і вимірювалася каліброваною платино-родієвою термопарою, приєднаної до потенціометра (5).

					<i>PM 01.01. ПЗ</i>					
<i>Зм.</i>	<i>Арк.</i>	<i>№ докум.</i>	<i>Підпис</i>	<i>Дата</i>	<i>Експериментальна частина</i>					
<i>Розроб.</i>	<i>Зубцов Є.І.</i>							<i>Літ.</i>	<i>Аркуш</i>	<i>Аркушів</i>
<i>Перев.</i>	<i>Суворін О.В.</i>									
<i>Консульт.</i>										
<i>Н. Контр.</i>										
<i>Затв.</i>	<i>Суворін О.В.</i>				<i>СНУ ім. В.Даля гр. ПЕО-19зм</i>					

Після досягнення температури розплаву ≥ 1100 К він вважається підготовленим для експерименту.

Відзначено індиферентність розплавів хлоридів лужних металів до реагентів, що використовуються і утворюються в процесах конверсії (CO , H_2 , CH_4 , H_2O , CO_2); до газів піролізу (H_2 , CH_4 , H_2S , ароматичних і ненасичених органічних сполук) вихідного сировини.

Вуглецевмісні матеріали в розплаві. Для дослідів використовувалися вугілля (табл. 4.1) з розмірами частинок $< 0,3$ мм.

Таблиця 4.1 - Склад використаного вугілля

Вугілля	Вологість, W ^p	Летючі р-ни, V ^r	Зольність, A ^p	Горюча маса					Склад золи		
				C	H	N	O	S	SiO ₂	Fe ₂ O ₃	Na ₂ O
мас. %											
Газове вугілля	5,9	41,3	7,2	81,0	5,7	2,0	11,0	0,3	47,3	4,2	0,4
Антрацит типу АШ	8,0	4,0	28,0	93,0	1,8	1,0	3,0	1,7	52,0	15,0	1,5
Антрацит Донецьк	10,0	7,0	20,0	70,0	4,3	-	-	-	8,0	40,0	4,0
Кокс	3,4	4,0	2,0	95,5	0,5	1,2	1,8	1,0	-	-	-

Хімічний склад золи вугілля представлений в табл. 4.2. Здобувачем проведені термодинамічні розрахунки вірогідності реакцій між окисниками та мінеральними компонентами в роботі [9].

Таблиця 4.2 - Хімічний склад золи солоного вугілля Новомосковського родовища

Хімічний склад золи, мас. % $\pm 0,05$									
SiO ₂	Fe ₂ O ₃	CaO	MgO	SO ₃	Al ₂ O ₃	TiO ₂	P ₂ O ₅	K ₂ O	Na ₂ O
29,8	31,8	4,45	1,52	3,14	21,06	0,55	0,17	1,25	6,5

Дослідження з попереднім завантаженням вугілля в розплав. Для багатьох експериментів в попередньо розігрітий до робочої температури (1100-1373 К) реактор завантажувалося навішення суміші кристалічного натрію хлориду з вуглецевмісним матеріалом. При цьому відбувалася дегазація і піроліз газів вугілля, а в розплаві залишався вуглецевий залишок. Попереднє видалення вуглеводневих газів дозволяє зіставити окислення тільки вуглецю. Після

рис. 4.4). Це і потрібно з міркувань захисту навколишнього середовища. Характер кривих зміни складу реакційних газів (рис. 4.4) показує, що в умовах експерименту процес окислення має виражену практично лінійну залежність при концентрації вуглецю в розплаві більш 0,016 г_с/г_р, як для антрацитів, так і для коксу (рис. 4.4 а, б). Подальше зниження концентрації вуглецю призводить до зміни характеру процесу окислення – різкого зниження кількості оксидів вуглецю та зростання вмісту залишкового кисню. Таким чином, значення концентрації вуглецю в розплаві 0,016 г_с/г_р є граничним, при якому різко змінюється склад продуктів окислення вугілля. Причому при концентрації менше 0,012 г_с/г_р СО в продуктах відсутній.

Таблиця 4.3 – Глибоке окислення в розплаві коксу і вуглецю антрацитів (Донецьк) (фракція менш 0,3 мм, температура 1250 К, витрата повітря 18 л/год, висота розплаву 65 мм, глибина точки введення повітря 55 мм, час контакту 0,4 с, об'єм розплаву 62 мл, α (коефіцієнт надлишку повітря) початкове дорівнює 0,31)

№	α	Час відбору проби хв	Концентрація С в розплаві		Склад продуктів окислення			Ступінь перетворення О ₂ %	Швидкість окислення				
			С _{споч.}	С _{сткін.}	О ₂	СО	СО ₂		С	С	О	С	О
			г _с /г _р		об. %				г/ч	г/(м ³ _р ·с)	моль/(м ³ _р ·с)		
1	2	3	4	5	6	7	8	9	10	11	12	13	14
1	0,33	5	Кокс 0,0441	0,0415	1,3	8,3	11,1	93,8	1,87	5,97	16,17	0,50	1,01
2	0,35	10		0,0391	2,8	8,1	9,8	86,7	1,73	5,51	14,94	0,46	0,93
3	0,39	20		0,0347	4,5	7,1	9,2	78,6	1,57	5,02	13,55	0,42	0,85
4	0,44	30		0,0305	5,1	6,8	9,0	75,7	1,52	4,86	13,05	0,41	0,82
5	0,54	45		0,0249	6,3	5,3	8,7	70,0	1,35	4,31	12,07	0,36	0,75
6	0,68	60		0,0200	8,0	3,7	8,5	61,9	1,18	3,76	10,67	0,31	0,67
7	0,85	75		0,0159	10,1	1,9	8,2	51,9	0,97	3,11	8,95	0,26	0,56
8	0,97	85		0,0139	13,2	0,3	7,1	37,1	0,71	2,28	6,40	0,19	0,40
9	1,18	100		0,0114	14,1	0,0	6,2	32,9	0,60	1,91	5,67	0,16	0,35
10	0,33	5		Антрацит (Донецьк) 0,0433	0,0408	2,8	9,1	9,0	86,7	1,75	5,57	14,94	0,46
11	0,35	10	0,0385		3,4	8,4	9,1	83,8	1,69	5,39	14,45	0,45	0,90
12	0,40	20	0,0339		3,7	8,1	9,2	82,4	1,67	5,33	14,20	0,44	0,89
13	0,45	30	0,0297		5,3	5,7	9,7	74,8	1,49	4,74	12,89	0,40	0,81
14	0,56	45	0,0240		6,7	3,7	10,5	68,1	1,37	4,37	11,74	0,36	0,73
15	0,70	60	0,0194		8,6	2,1	9,5	59,0	1,12	3,57	10,18	0,30	0,64
16	0,87	75	0,0156		10,5	1,5	7,9	50,0	0,91	2,89	8,62	0,24	0,54
17	0,97	85	0,0139		14,5	0,3	5,9	31,0	0,60	1,91	5,34	0,16	0,33
18	1,06	100	0,0127	17,2	0,0	3,2	18,1	0,31	0,99	3,12	0,08	0,19	

РМ 01.01. ПЗ

Арк.

Зм. Арк. № докум. Підпис Дата

Залежності швидкості реакції окислення (рис. 4.5 а) і ступеня перетворення кисню (рис. 4.6 а) в процесі окислення вугілля також характеризуються наявністю граничної концентрації вуглецю 0,016 г_C/г_P. При

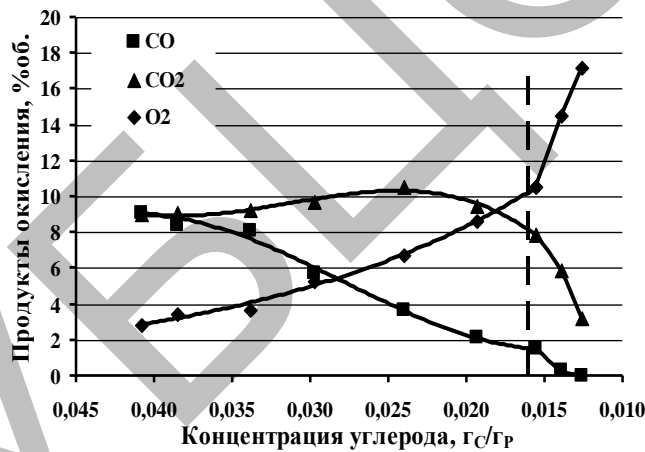
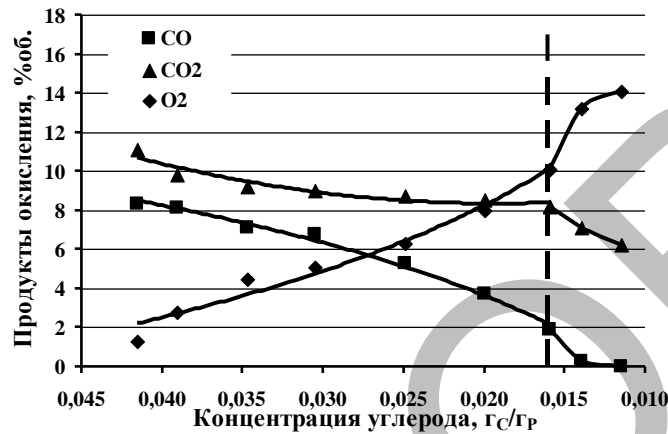
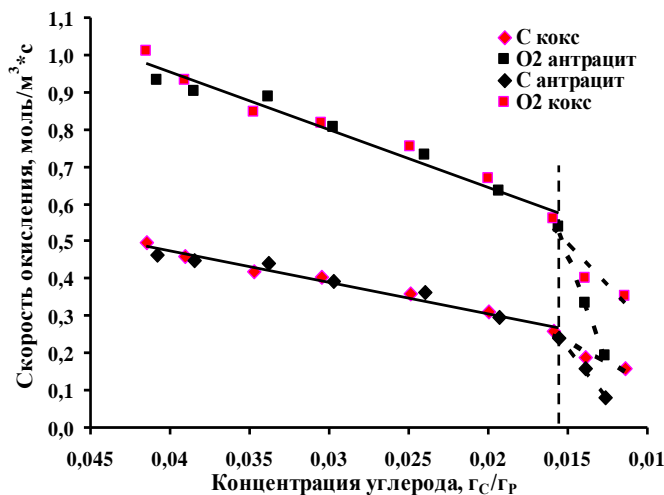
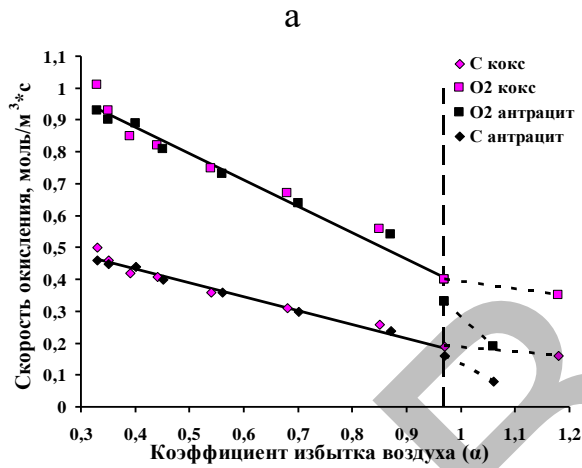


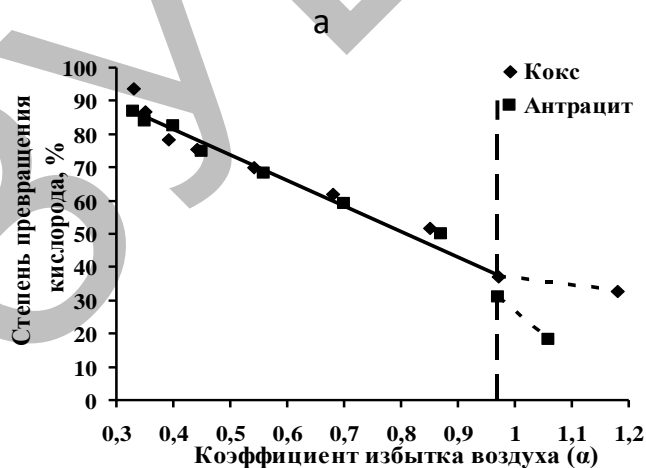
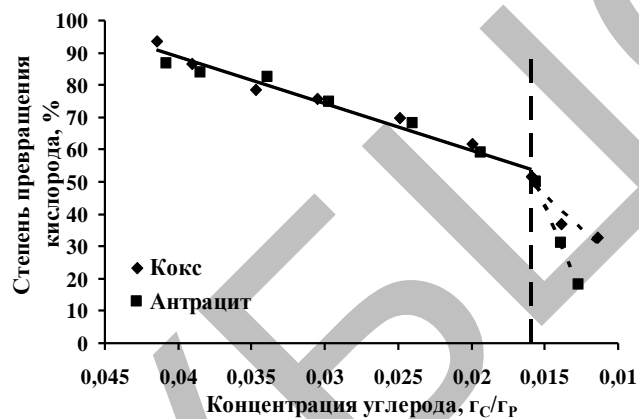
Рисунок 4.4 – Состав продуктов окисления вуглецю при 1250 К і зміні його концентрації: а - коксу; б - антрациту.





б

Рисунок 4.5 – Швидкість окислення коксу і антрациту при 1250 К і зміні концентрації вуглецю в розплаві (а) і коефіцієнта надлишку повітря (б).



б

Рисунок 4.6 - Ступінь перетворення кисню повітря в процесі окислення при 1250 К коксу і антрациту при зміні концентрації вуглецю в розплаві (а) і коефіцієнта надлишку повітря (б).

Досліди (табл. 4.5, рис. 4.7 – 4.9) проводили при температурі 1000°C, витраті води 0,006 л/год, висоті розплаву 90 мм, глибиною точки введення води 35 мм.

У міру протікання реакції природно знижується співвідношення вугілля/H₂O, що вносить зміни до складу продуктів реакції і їх характер (табл. 4.5, рис. 4.7 - 4.9).

Таблиця 4.5 – Дослідження процесу парової газифікації антрациту типу АШ (t = 1000°C, маса наважки 3 г, початкова концентрація вуглецю г_c/г_p, фракція менш 0,05 мм, витрата води 0,006 л/год, час контакту 0,3 сек, висота розплаву 90 мм , глибина точки введення води 35 мм)

Відбор проби	Вуглець в розплаві	C H ₂ O	Склад сухого синтез-газу				X _{H₂O}		Джислений C	Швидкість реакції			
			H ₂	CO	CH ₄	CO ₂	по Н	по О		H ₂	CO	CH ₄	CO ₂
сек	г _c /г _p	г/г	% об.				%		кг/м ³ ·год	моль/м ³ ·с			
309	0,032	5,50	80,1	12,8	1,2	7,7	88,5	30,3	10,8	24,8	4,0	0,4	2,4
648	0,031	5,33	79,1	11,2	1,3	8,4	87,7	30,1	10,4	24,5	3,5	0,4	2,6
675	0,029	5,00	80,0	10,6	1,2	8,2	83,8	27,5	9,4	24,8	3,3	0,4	2,6
747	0,028	4,83	79,8	9,9	1,1	9,2	71,4	24,6	8,1	24,8	3,1	0,3	2,9
875	0,027	4,67	79,7	9,3	1,0	9,9	64,8	23,1	7,4	24,7	2,9	0,3	3,1
986	0,025	4,33	80,3	8,2	0,9	10,2	58,6	20,4	6,4	24,9	2,5	0,3	3,2
1107	0,024	4,17	80,8	7,5	0,9	10,8	53,8	18,9	5,8	25,1	2,3	0,3	3,3
1300	0,022	4,00	80,2	7,0	0,8	12,0	43,0	16,3	4,8	24,9	2,2	0,3	3,7
1855	0,022	3,67	83,5	4,0	0,5	12,0	22,8	7,5	2,1	25,9	1,2	0,2	3,7
2353	0,021	3,50	89,9	1,4	0,3	8,3	15,6	3,1	0,8	27,9	0,5	0,1	2,6

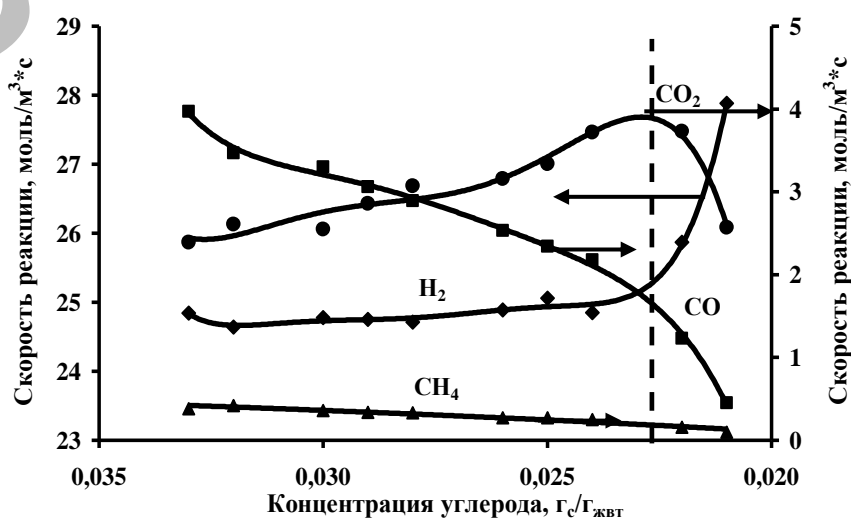


Рисунок 4.7 – Швидкість реакції конверсії вугілля при зміні концентрації вуглецю в теплоносії

Дослідження були продовжені зі зміною температури. Досліди проведені з використанням антрациту тип АШ при 980⁰С і 1090⁰С, початкової концентрації вуглецю 0,022 г/Гр і висоті шару теплоносія 70 мм. Результати досліджень представлені в табл. 4.8. Підвищення температури на 110⁰С призвело до певного зростання швидкості реакції.

Таблиця 4.8 – Окислення антрациту в розплаві при різних температурах (С_{поч} = 0,01 г/Гр, фракція менш 0,05 мм, висота шару теплоносія 70 мм, точка введення повітря 600 мм, $d_{mp} = 2,5$ мм)

№	Витрата повітря л/год	Час кон-такту с	Склад продуктів окислення			Х _{О2} %	Швидкість окислення					k с ⁻¹
			О ₂	СО	СО ₂		С	С	О	С	О	
			%об.				г/год	г/(м ³ _р ·с)		моль/(м ³ _р ·с)		
1	2	3	4	5	6	7	8	9	10	11	12	13
Температура 980 ⁰ С												
1	8	0,490	3,6	8,9	8,5	82,9	0,75	2,38	6,35	0,20	0,40	3,87
2	16	0,420	4,5	7,6	8,8	78,6	1,41	4,49	12,04	0,37	0,75	
3	23	0,350	5,7	5,3	9,8	72,9	1,86	5,94	16,05	0,50	1,00	
4	36	0,190	8,9	2,5	9,5	57,6	2,31	7,39	19,87	0,62	1,24	
Температура 1090 ⁰ С												
6	8	0,370	1,4	2,8	16,8	93,3	0,84	2,68	7,15	0,22	0,45	7,26
7	16	0,280	2,7	1,9	16,4	87,1	1,57	5,01	13,36	0,42	0,83	
8	23	0,220	4,3	1,1	15,1	79,5	2,00	6,37	17,52	0,53	1,09	
9	36	0,145	7,4	0,5	12,3	64,8	2,47	7,88	22,33	0,66	1,40	

Збільшення витрати повітря підвищує ступінь перемішування і гомогенізацію системи «вуглець - розплав - гази». При збільшенні витрати повітря з 8 до 36 л/год (табл. 4.8) для температур 980 і 1090⁰С спостерігається інтенсифікація процесу окислення вуглецю. Збільшення кількості повітря, що подається в ~ 5 разів призводить до зниження СО з 8,9 і 2,8 об. % до 2,5 і 0,5 об. % для температури 980 і 1090⁰С відповідно. Збільшується кількість непрореагувавшего кисню з 3,6 і 1,4 об. % до 8,9 і 7,4 об. % температури 980 і 1090⁰С відповідно, і ростуть відповідно втрати тепла. Збільшення витрати повітря при температурі 980⁰С сприяє збільшенню кількості діоксиду вуглецю з 8,5 до 9,5 об. %, а при 1090⁰С зниження з 16,8 до 12,3 об. %.

При підвищенні температури значення швидкості хімічних перетворень зростає. Збільшення температури на 110⁰С призвело до зростання швидкості

Зм.

Арк.

№ докм.

Підпис

Дата

РМ 01.01. ПЗ

Арк.

Таблиця 4.9 – Вплив коефіцієнта надлишку повітря на процес окислення газового вугілля ($T = 1160^{\circ}\text{C}$, висота розплаву 110 мм, глибина точки введення в розплав 60 мм)

№ оп.	Витрата повітря л/год	α	Склад продуктів окислення							Ступінь перетворення			Швидкість процесу окислення			
			O ₂	N ₂	CO	CO ₂	H ₂	CH ₄	H ₂ O	O ₂	C по			H ₂ O	CO	CO ₂
											CO	CO ₂	ΣCO_x			
%об.							%			моль/(м ³ *с)						
1	2	3	4	5	6	7	8	9	10	11	12	13	14	15	16	17
1	33	1,01	3,9	62,0	3,0	9,4	0,1	0,1	21,5	76,2	18,2	57,5	75,7	10,62	1,48	4,64
2	49	1,49	8,2	66,6	2,1	7,4	0,0	0,0	15,7	53,8	17,8	62,6	80,4	14,10	1,89	6,65
3	65	1,98	9,9	69,3	1,1	7,5	0,0	0,0	12,3	46,2	11,3	80,2	91,5	24,31	2,17	14,82
4	80	2,44	11,6	70,9	0,0	7,3	0,0	0,0	10,2	38,6	0,0	94,1	94,1	50,40	0,00	36,07

Таблиця 4.10 – Вплив глибини точки введення окислювача на процес окислення газового вугілля (витрата повітря 33 л год, витрата вугілля 3,69 г/год, $\alpha = 1,01$, $T = 1160^{\circ}\text{C}$, висота розплаву 110 мм)

№ оп.	Глибина вводу реагентів мм	Склад продуктів окислення							Ступінь перетворення			Швидкість процесу окислення			
		O ₂	N ₂	CO	CO ₂	H ₂	CH ₄	H ₂ O	O ₂	C по			H ₂ O	CO	CO ₂
										CO	CO ₂	ΣCO_x			
%об.							%			моль/(м ³ *с)					
1	2	3	4	5	6	7	8	9	10	11	12	13	15	16	17
1	0	5,1	65,9	2,7	4,6	3,9	1,3	16,6	71,0	15,3	26,4	41,7	8,20	1,33	2,27
2	15	4,7	62,3	3,3	8,0	0,4	0,2	21,1	71,9	20,1	48,9	69,0	10,43	1,63	3,95
3	30	4,3	62,2	3,2	8,7	0,2	0,2	21,3	73,8	19,6	52,7	72,3	10,52	1,58	4,30
4	50	3,9	62,0	3,1	9,3	0,1	0,1	21,5	76,2	18,7	57,0	75,7	10,62	1,53	4,60
5	80	3,4	61,9	2,8	10,2	0,0	0,0	21,7	79,1	16,9	62,2	79,0	10,72	1,38	5,04

5 Прикладна частина

Пропонована технологія окислення вугілля в розплаві теплоносія з отриманням енергетичного газу (синтез-газу) калорійністю 10-12 МДж/м³, передбачає забезпечення енерговитрат стадії конверсії (зона 1), які доцільно компенсувати окисленням частини вугілля (зона 2) і здійснювати енергообмін розплавом шлаку, що циркулює між зонами (рис. 5.1). Причому зони окислення і конверсії розділені по газовій фазі і об'єднані по розплаву.

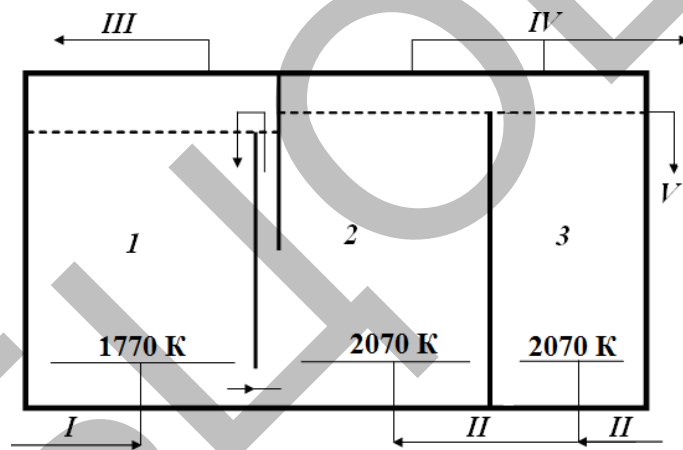


Рисунок 5.1 – Реакційний вузол отримання синтез-газу в розплаві:

1 – зона конверсії, 2 – зона окислення, 3 – зона доокислення (встановлюється за необхідністю концентрації вуглецю в розплаві шлаку менше 1%мас.); I – водно-вугільна суміш (можливе додавання вапняку CaCO_3 для зв'язування сірки вугілля), II – повітря, III – синтез-газ, IV – димові гази.

Циркуляція розплаву між зонами здійснюється через гідрозатвор. Це виключає контакт горючих газів зони окислення з димовими газами, що містять кисень. Дане рішення забезпечує вибухобезпечність технології і дозволяє застосовувати в зоні 2 і 3 в якості окислювача повітря. Надлишок шлаку відводиться із зони 2 реакційного блоку в зону 3. Залишок непрореагувавшего вуглецю пропонується доокислювати до значення в виведеному з реактора

					<i>PM 01.01. ПЗ</i>		
<i>Зм.</i>	<i>Арк.</i>	<i>№ докум.</i>	<i>Підпис</i>	<i>Дата</i>	<i>Прикладна частина</i>		
<i>Розроб.</i>		<i>Зубцов Є.І.</i>					
<i>Перев.</i>		<i>Суворін О.В.</i>					
<i>Консульт.</i>							
<i>Н. Контр.</i>							
<i>Затв.</i>		<i>Суворін О.В.</i>			<i>Літ.</i>	<i>Аркуш</i>	<i>Аркушів</i>
					<i>СНУ ім. В.Даля гр. ПЕО-19зм</i>		

$$Q_{\text{екз}} = 23913,7 \times 8400 = 200,9 \text{ ГДж/год}$$

II. Тепловий баланс за зоною конверсії

1. Тепло, необхідне для нагріву вугілля від 20 до 1500°C:

$$Q_{\text{вуг}} = 20400 \times 1,04 \times (1500 - 20) = 31,4 \text{ ГДж/год}$$

2. Тепло на нагрів води, її випар і перегрів пари:

розраховано в матеріальному балансі:

$$Q_{\text{H}_2\text{O заг}} = 65,0 \text{ ГДж/год}$$

3. Тепло, що потрібно витрати на перебіг ендотермічних реакцій конверсії розраховано в матеріальному балансі:

$$Q_{\text{енд}} = 82,7 \text{ ГДж/год}$$

Теплові втрати в зоні конверсії приймаємо на рівні 10% від приходу тепла, що складається з тепла екзотермічних реакцій та корисної утилізації тепла синтез-газу:

$$Q_{\text{втр}} = (200,9 + 44,55) \cdot 0,1 = 24,55 \text{ ГДж/год}$$

Тоді в зону конверсії, з зони окислення повинно підводитися кількість тепла:

$$Q_{\text{конв.}} = Q_{\text{енд}} + Q_{\text{H}_2\text{O заг}} + Q_{\text{вуг}} + Q_{\text{втр}} - Q_{\text{ут}}$$

$$Q_{\text{конв.}} = 82,7 + 65,0 + 31,4 + 24,55 - 44,55 = 159,1 \text{ ГДж/год}$$

Розраховані дані заносимо до таблиці теплового балансу.

Таблиця 5.3 – Тепловий баланс зони конверсії

Прихід	ГДж/год	Витрата	ГДж/год
1. Тепло з зони окислення	159,1	1. На ендотермічні реакції	82,7
2. Утилізація тепла синтез-газу	44,55	2. На нагрів вугілля	31,4
		3. Нагрів води, випар та перегрів пари	65,0
		4. Втрати	24,55
Разом:	203,65	Разом:	203,65

5.3 Вибір і розрахунок основного апарату

5.3.1 Вибір та опис основного апарату

Основним технологічним апаратом є реактор газифікації антрациту в розплаві рідкого високотемпературного теплоносія, в якості якого

					<i>PM 01.01. ПЗ</i>	<i>Арк.</i>
<i>Зм.</i>	<i>Арк.</i>	<i>№ докум.</i>	<i>Підпис</i>	<i>Дата</i>		

Таблиця 5.5 – Склад синтез-газу і димових газів, одержуваних в реакторі газифікації вугілля за технологією в розплаві теплоносія

Синтез-газ					Димові газы				
Варіант 1									
речовина	моль	г	л	% об.	речовина	моль	г	л	% об.
CO	12,70	355,49	284,39	41,69	CO ₂	36,85	1621,21	825,34	20,00
H ₂	17,17	34,35	384,69	56,40	N ₂	145,54	4075,13	3260,10	79,00
CO ₂	0,06	2,57	1,31	0,19	O ₂	1,84	58,95	41,27	1,00
H ₂ S	0,34	11,52	7,59	1,11	всього	-	5755,29	4126,71	100,00
N ₂	0,18	5,16	4,12	0,60					
всього	-	409,08	682,11	100,00					
Варіант 2									
речовина	моль	г	л	% об.	речовина	моль	г	л	% об.
CO	15,56	435,71	348,57	42,96	CO ₂	33,97	1494,51	760,84	20,00
H ₂	20,07	40,14	449,52	55,40	N ₂	134,17	3756,66	3005,33	79,00
CO ₂	0,07	3,20	1,63	0,20	O ₂	1,70	54,35	38,04	1,00
H ₂ S	0,34	11,52	7,59	0,94	всього	-	5305,52	3804,22	100,00
N ₂	0,18	5,16	4,12	0,51					
всього	-	495,72	811,43	100,00					
варіант 3									
речовина	моль	г	л	% об.	речовина	моль	г	л	% об.
CO	21,30	596,39	477,11	44,57	CO ₂	28,20	1240,75	631,65	20,00
H ₂	25,86	51,73	579,35	54,12	N ₂	111,39	3118,80	2495,04	79,00
CO ₂	0,10	4,47	2,28	0,21	O ₂	1,41	45,12	31,58	1,00
H ₂ S	0,34	11,52	7,59	0,71	всього	-	4404,66	3158,27	100,00
N ₂	0,18	5,16	4,12	0,39					
всього	-	669,26	1070,45	100,00					

Проведені розрахунки показали, що при 1-му варіанті організації процесу конверсії вугілля в розплаві з 49,6 моль переробляється вуглецю (1000 г вугілля) в зоні окислення (енергозабезпечення зони конверсії) необхідно окислити 36,8 моль С, що становить 75% від кількості переробляється палива. При 2-му варіанті організації процесу необхідно окислити 33,9 моль С, що становить ~ 68% від загальної кількості переробляється вуглецю і в 3-му варіанті схеми необхідно окислити 28,1 моль, ~ 56% від переробленої палива.

Зведений матеріальний баланс процесу парової конверсії антрациту типу АШ в реакторі з циркулюючим теплоносієм представлений в табл. 5.6.

Тепловий баланс процесу конверсії вугілля в розплаві теплоносія представлений в табл. 5.7.

Таблиця 5.6 – Матеріальний баланс реактора з розплавом теплоносія для процесу парової конверсії 1 кг нтрациту типу АШ

Варіант 1			
прихід		витрата	
потік	г	потік	г
1. Сухий антрацит, в т.ч.	1000,00	1. Синтез-газ, в т.ч.	409,08
C	595,20	CO	355,49
H	11,56	H ₂	34,35
S	10,84	CO ₂	2,57
N	5,16	H ₂ S	11,52
O	17,24	N ₂	5,16
зола	280,00	2. Димові гази	5755,29
вода	80,00		
2. Додаткова вода	131,23	CO ₂	1621,21
3. Повітря в зону окислення, в т.ч.	5313,143	N ₂	4075,13
O ₂	1238,01	O ₂	58,95
N ₂	4075,13	3. Шлак	280,00
Всього	6444,37	Всього	6444,37
Варіант 2			
потік	г	потік	г
1. Сухий антрацит, в т.ч.	1000,00	1. Синтез-газ, в т.ч.	495,72
C	595,20	CO	435,71
H	11,56	H ₂	40,14
S	10,84	CO ₂	3,20
N	5,16	H ₂ S	11,52
O	17,24	N ₂	5,16
зола	280,00	2. Димові гази	5305,52
вода	80,00		
2. Додаткова вода	183,32	CO ₂	1494,51
3. Повітря в зону окислення, в т.ч.	4897,93	N ₂	3756,66
O ₂	1141,26523	O ₂	54,35
N ₂	3756,66	3. Шлак	280,00
Всього	6081,25	всього	6081,25
варіант 3			
потік	г	потік	г
1. Сухий антрацит, в т.ч.	1000,00	1. Синтез-газ, в т.ч.	669,26
C	595,20	CO	596,39
H	11,56	H ₂	51,73
S	10,84	CO ₂	4,47
N	5,16	H ₂ S	11,52
O	17,24	N ₂	5,16
зола	280,00	2. Димові гази	4404,66
вода	80,00		
2. Додаткова вода	287,65	CO ₂	1240,75
3. Повітря в зону окислення, в т.ч.	4066,28	N ₂	3118,80
O ₂	947,4820823	O ₂	45,12
N ₂	3118,80	3. Шлак	280,00
Всього	5353,93	всього	5353,93

					РМ 01.01. ПЗ	Арк.
Зм.	Арк.	№ докум.	Підпис	Дата		

Утилізація теплової енергії всіх відходять потоків при 1-му варіанті організації процесу (початкові потоки сировини подаються без нагріву при 20°C) дозволить згенерувати 258 моль водяної пари 5 атм з 1 кг переробленого антрациту типу АШ. При 2-му варіанті процесу (вихідний потік повітря в зону окислення і водяної пари в зону конверсії підігрівається до 400°C) утилізація тепла відхідних потоків дозволить згенерувати 208 моль і при 3-му варіанті схеми (вихідний потік повітря в зону окислення підігрівається до 800°C і водяної пари в зону конверсії до 400°C) дозволить згенерувати 129 моль водяної пари 5 атм з 1 кг переробленого антрациту типу АШ. Необхідно відзначити, що в 2-му і 3-му варіанті організації процесу конверсії вугілля в розплаві для підігріву вихідних потоків використовується тепло відхідних (димових газів, синтез-газу і шлаку). При цьому розрахунки показують, що при нагріванні потоку водяної пари в зону конверсії до 400°C і повітря в зону окислення до 800°C дозволяють додатково генерувати 129 моль технологічного водяної пари 5 атм з 1 кг переробленого антрациту типу АШ, без урахування енергії спалювання синтез-газу, який направляється на заміну природного газу.

					<i>PM 01.01. ПЗ</i>	<i>Арк.</i>
<i>Зм.</i>	<i>Арк.</i>	<i>№ докум.</i>	<i>Підпис</i>	<i>Дата</i>		

6 Охорона праці

Серед величезної кількості речовин, що забруднюють атмосферу в результаті людської діяльності, особливе місце займають різного типу продукти згоряння. Практично жоден технологічний процес не обходиться без споживання атмосферного кисню, що виконує в основному функцію окиснювача.

Основні джерела забруднення повітря міст – теплоелектростанції (ТЕС) і автомобільний транспорт. Наприклад, на частку автотранспорту припадає близько 40% загального забруднення атмосфери. Приблизно стільки ж припадає на частку ТЕС. Тільки за одну годину роботи ТЕС середньої потужності спалює більше 80 т вугілля і викидає в атмосферу приблизно 5 т сірчистого газу і 16-17 т золи. ТЕС, що працюють на нафті, практично не викидають золи, але вміст сірки в їх викидах досить помітний. Найбільш екологічно чистим видом енергетичного палива є сьогодні природний газ. При його спалюванні істотно забруднюють атмосферу оксиди нітрогену, але їх викид в середньому виявляється на 20% менше, ніж при спалюванні вугілля.

Проведена в США оцінка викидів сірчистого газу і оксидів нітрогену показала, що внесок ТЕС в викиди SO_2 складає 65%, а транспортних засобів – тільки 3%. Проте по викиду оксидів нітрогену транспорт посідає перше місце (41%), а електростанції - друге (29%).

Щорічно в результаті діяльності людини в атмосферу потрапляє 60-70 млн т сірки у вигляді двоокису сірки (SO_2). Це приблизно в два рази вище за природні викиди.

Вміст вуглекислого газу в атмосфері зростає зі швидкістю 3% в десятиліття. Спалювання викопного палива поставляє в атмосферу щорічно 5 млн т вуглецю.

					<i>PM 01.01. ПЗ</i>			
<i>Зм.</i>	<i>Арк.</i>	<i>№ докум.</i>	<i>Підпис</i>	<i>Дата</i>	<i>Охорона праці</i>	<i>Літ.</i>	<i>Аркуш</i>	<i>Аркушів</i>
<i>Розроб.</i>		<i>Зубцов Є.І.</i>						
<i>Перев.</i>		<i>Суворін О.В.</i>						
<i>Консульт.</i>								
<i>Н. Контр.</i>								
<i>Затв.</i>		<i>Суворін О.В.</i>						
						<i>СНУ ім. В.Даля гр. ПЕО-19зм</i>		

застосування принципово різних технічних прийомів і способів захисту, створення нової техніки і технології, що забезпечують оптимальні умови праці.

6.1 Характеристика токсичності, пожежно- та вибухонебезпечності речовин, які використовуються та отримують при виробництві

Таблиця 6.1 – Характеристика токсичності [22]

Речовина	Клас небезпеки	Характер дій на організм людини	ГДК робочої зони мг/м ³	Засоби індивідуального захисту
Оксид нітрогену	3	Визиває гостре подразнення слизової оболонки, сльозоточіння, опікає шкіру.	20	Шлангові протигази ПШ – 1, ПШ – 2
Діоксид нітрогену	3	Визиває гостре подразнення слизової оболонки, сльозоточіння, опікає шкіру.	20	Шлангові протигази ПШ – 1, ПШ – 2
Оксид карбону	4	Наявне головокружіння, шум у вухах, печіння шкіри обличчя, пришвидшення пульсу, рвота, судороги, втрата свідомості. Страждає ЦНС, органи почуттів, особливо зір, серцево-судинна система, органи дихання.	20	Фільтруючий протигаз марки М для СО.
Оксид сульфуру	3	Різкий біль в очах, сльозоточіння. Почервоніння шкіри. Сильний дратівливий кашель. Задишка, втрата свідомості.	10	Шлангові протигази ПШ – 1, ПШ – 2.

Показники пожежно- та вибухонебезпечності представлені в таблиці 6.2.

Таблиця 6.2 – Показники пожежної небезпеки та вибухонебезпечності. [24]

Речовина	Температура заpalення, °C	Температура самозаpalення, °C	Концентраційні межі вибухонебезпечності, % об.	
			нижній	верхній
Окисли нітрогену	73	537	5 (95 г/м ³)	15 (500 г/м ³)
Оксид карбону	280-320	610	12,5	74,2
Діоксид карбону	–	510	4 (3,4 г/м ³)	75 (66,4 г/м ³)

7 Еколого-економічні розрахунки

На кафедрі хімічної інженерії та екології Східноукраїнського національного університету імені Володимира Даля розробляється технологія синтез-газу з вугілля та окиснення киснем повітря в розплаві теплоносія під керівництвом заслуженого діяча науки і техніки України д.т.н., проф. Глікіна Марата Ароновича. Дана технологія полягає в наступному. Окиснення вугілля та вуглецьвміщуючих речовин в розплаві високотемпературного теплоносія дозволить значно скоротити викиди твердих частинок (будуть залишатися в розплаві) та забезпечити максимальну глибину переробки вуглецю.

Можливість повного корисного використання всієї органічної маси вугілля або вуглецевих залишків дозволить досягти максимального ступеня коефіцієнта корисної дії як термічного так і в цілому. При цьому отриманий синтез-газ можливо спалювати в котлах теплових електростанцій не завдаючи значної шкоди оточуючому середовищу (відсутній винос твердих часток, газове паливо можливо спалювати за більш спрощеною технологією ніж тверде). Димові гази зі стадій окиснення та доокиснення несуть із собою високопотенційну теплову енергію, яку можливо утилізувати за технологічними стадіями наявними на сучасних теплових електростанціях. Можлива організація процесу без залучення стадії газифікації, тобто спалювання вугілля в розплаві. При цьому в обох випадках відсутній винос з реакційного вузла твердих часток, що безумовно покращує екологічну сторону виробництва теплової енергії з вихідної сировини, наявної в Україні в значній кількості.

					<i>РМ 01.01. ПЗ</i>			
<i>Зм.</i>	<i>Арк.</i>	<i>№ докум.</i>	<i>Підпис</i>	<i>Дата</i>				
<i>Розроб.</i>		<i>Зубцов Є.І.</i>			<i>Еколого-економічні розрахунки</i>	<i>Літ.</i>	<i>Аркуш</i>	<i>Аркушів</i>
<i>Перев.</i>		<i>Суворін О.В.</i>						
<i>Консульт.</i>						<i>СНУ ім. В.Даля гр. ПЕО-19зм</i>		
<i>Н. Контр.</i>								
<i>Затв.</i>		<i>Суворін О.В.</i>						

$$\Delta Y_a = 2,4 \cdot 1 \cdot 0,28 \cdot 72705,6 = 48858,2 \text{ грн./рік.}$$

7.2 Визначення еколого-економічних результатів, отриманих при розробці проєктованих заходів

Зниження розміру сплати зборів за забруднення за рахунок зменшення забруднення навколишнього середовища для атмосферного повітря визначається за формулою:

$$\Delta D_3 = \sum_{i=1}^n (\Delta M_i \cdot H_{oi}) = \sum_{i=1}^n (M_{1i} \cdot H_{oi}) - \sum_{i=1}^n (M_{2i} \cdot H_{oi}), \quad (7.12)$$

де ΔM_i - зміна обсягу викиду i -тої забруднюючої речовини в тонах до і після впровадження заходів;

H_{oi} - норматив збору за тону i -тої забруднюючої речовини, у гривнях (грн./т);

Згідно з Податковим кодексом України ставки податку за викиди в атмосферне повітря окремих забруднюючих речовин стаціонарними джерелами забруднення з 01.01.2018 р. мають такий розмір (п. 243.1 ст. 243 Податкового кодексу): для твердих речовин – 92,37 грн./т. Отже розмір сплати зборів за забруднення до і після впровадження природоохоронного заходу складе:

$$D_{3_1} = 3366 \cdot 92,37 = 310917,42 \text{ грн./рік,}$$

$$D_{3_2} = 336,6 \cdot 92,37 = 31091,7 \text{ грн./рік,}$$

$$\Delta D_3 = 310917,42 - 31091,7 = 279825,72 \text{ грн./рік.}$$

Еколого-економічний результат визначається за формулою:

$$P = \Delta Y_a + \Delta D, \quad (7.13)$$

$$P = 48858,15 + 279825,72 = 328683,87 \text{ грн.}$$

Розрахунок показників еколого-економічної оцінки проєкту зведено в табл. 7.2.

					<i>PM 01.01. ПЗ</i>	<i>Арк.</i>
<i>Зм.</i>	<i>Арк.</i>	<i>№ докум.</i>	<i>Підпис</i>	<i>Дата</i>		

Висновки

В даній магістерській роботі розглянуті сучасні процеси спалення вугілля на енергоблоках теплоелектростанцій (ТЕС). Виконано аналіз викидів при роботі енергоблоків на різних видах викопної сировини: вугілля, мазут, природний газ. Найбільш екологічно чистим видом енергетичного викопного палива на сьогодні є природний газ. При спалюванні вугілля наявні значні викиди сірчистого газу і золи. При спалюванні рідкого палива (мазуту) з викидами в атмосферу потрапляють: оксиди сірки і нітрогену, газоподібні і тверді продукти неповного згоряння палива. Однак природний газ є цінною сировиною для хімічних галузей, тому його широке застосування на ТЕС недоцільно. До того ж в Україні наявні незначні запаси природного газу та нафти і навпаки значні запаси вугілля, що зумовлює широке використання твердих горючих копалин в різних галузях промисловості. Тому на сьогодні в Україні більшість ТЕС в якості сировини використовують вугілля. До того ж ТЕС використовуються для регулювання виробництва електроенергії в єдину енергетичну систему України у пікові години. Тому на ТЕС може постійно змінюватися режими горіння, що може призвести до ведення процесу не в оптимальних параметрах, тому ще гірших екологічних показниках. Тому доцільна розробка альтернативних технологій переробки твердих горючих копалин в теплову, електричну енергії та/або технологічні гази.

В роботі проведені дослідження процесів окиснення киснем повітря та конверсії водою твердих горючих копалин в рідкому високотемпературному теплоносії. Організація процесів в розплаві дозволить забезпечити максимальну глибину переробки вугілля. Передбачається, що викид пилу та зважених часток в даній технології буде практично відсутній, продуктами процесів окиснення будуть енергетичні та/або технологічні гази, шлак із мінімальним вмістом

					<i>PM 01.01. ПЗ</i>			
<i>Зм.</i>	<i>Арк.</i>	<i>№ докум.</i>	<i>Підпис</i>	<i>Дата</i>	<i>Висновки</i>	<i>Літ.</i>	<i>Аркуш</i>	<i>Аркушів</i>
<i>Розроб.</i>		<i>Зубцов Є.І.</i>						
<i>Перев.</i>		<i>Суворін О.В.</i>						
<i>Консульт.</i>								
<i>Н. Контр.</i>								
<i>Затв.</i>		<i>Суворін О.В.</i>						
						<i>СНУ ім. В. Даля гр. ПЕО-19зм</i>		

Анотація

В даній дипломній роботі розглянуті сучасні процеси спалення вугілля на енергоблоках теплоелектростанцій. Проведені експериментальні дослідження процесів окиснення, конверсії твердих горючих копалин в рідкому високотемпературному теплоносії. Організація процесів в розплаві дозволить забезпечити максимальну глибину переробки вугілля з мінімальним викидом твердих часток, які будуть залишатися в розплаві теплоносія. Запропоновано реакторний вузол, що суміщає процеси конверсії вугілля в синтез-газ та окиснення вуглецевого залишку киснем повітря.

Аннотация

В данной дипломной работе рассмотрены современные процессы сжигания угля на энергоблоках теплоэлектростанций. Проведены экспериментальные исследования процессов окисления, конверсии твердых горючих ископаемых в жидком высокотемпературном теплоносителе. Организация процессов в расплаве позволит обеспечить максимальную глубину переработки угля с минимальным выбросом твердых частиц, которые будут оставаться в расплаве теплоносителя. Предложен реакторный узел, совмещающий процессы конверсии угля в синтез-газ и окисления углеродного остатка кислородом воздуха.

Annotation

In this thesis, modern processes of coal combustion at power units of thermal power plants are considered. Experimental studies of oxidation processes, conversion of solid fossil fuels in a liquid high-temperature coolant have been carried out. The organization of processes in the melt will ensure the maximum depth of coal processing with a minimum emission of solid particles that will remain in the coolant melt. A reactor unit is proposed that combines the processes of converting coal into synthesis gas and oxidizing the carbon residue with atmospheric oxygen.

					<i>PM 01.01. ПЗ</i>			
<i>Зм.</i>	<i>Арк.</i>	<i>№ докум.</i>	<i>Підпис</i>	<i>Дата</i>	<i>Анотації</i>	<i>Літ.</i>	<i>Аркуш</i>	<i>Аркушів</i>
<i>Розроб.</i>		<i>Зубцов Є.І.</i>						
<i>Перев.</i>		<i>Суворін О.В.</i>						
<i>Консульт.</i>								
<i>Н. Контр.</i>								
<i>Затв.</i>		<i>Суворін О.В.</i>			<i>СНУ ім. В. Даля гр. ПЕО-19зм</i>			

Література

1. П.С. Белов, І.А. Голубев, С.А. Низова Екологія виробництва хімічних продуктів із вуглеводородів нафти і газу. М.:Хімія, 1991.
2. Енергетична стратегія України на період до 2030 року та подальшу перспективу (проект). Мінпаливенерго та НАН України, 2003.
3. Підсумки роботи електроенергетики у 2003 році: Звіт Мінпаливенерго України за 2003 рік від 20.02.2004 р.
4. Квасова А.В., Зубцов Є.І., Тарасов В.Ю. Порівняльний аналіз технологій очистки скидних газів теплових електростанцій «Вісник СНУ ім. В. Даля», 2019. №7. с.32-34
5. Захист атмосфери від промислових забруднень; Дов. Вид.: В 2-х ч. Ч. 1: Пер. с англ./Під ред. С. Карверта, Г.М. Інглунда М.: Металургія, 1988-712 с.
6. Захист атмосфери від промислових забруднень: Дов. Вид.: В 2-х ч. Ч. 2: Пер. с англ./Під ред. С.Карверта, Г.М. Інглунда. М.: Металургія, 1988 – 712 с.
7. А.І. Родіонов, В.Н. Клушин, Н.С. Торочешников Техніка захисту навколишнього середовища. -М.: Хімія, 1989-512с.
8. Жабо В.В. Охорона навколишнього середовища на ТЕС. Підручник для технікумів. - М.: Енергоатомвид, 1992-240с.
9. Хотунцев Ю.Л. Екологія и екологічна безпека: Навч. посібник для студ. вищ. пед. навч. закладів. – 2-е вид., перероб. – М.: Видавничий центр «Академія», 2004. – 480 с.
10. Ганз С.Н., Кузнецов І.Е. Очистка промислових газів. Київ, 1967
11. Очистка промислових викидів і утилізація відходів. Збірник наукових праць. Л.,1985

					<i>PM 01.01. ПЗ</i>		
<i>Зм.</i>	<i>Арк.</i>	<i>№ докум.</i>	<i>Підпис</i>	<i>Дата</i>			
<i>Розроб.</i>		<i>Зубцов Є.І</i>			<i>Літ.</i>	<i>Аркуш</i>	<i>Аркушів</i>
<i>Перев.</i>		<i>Суворін О.В.</i>					
<i>Консульт.</i>					<i>Література</i>		
<i>Н. Контр.</i>							
<i>Затв.</i>		<i>Суворін О.В.</i>					
					<i>СНУ ім. В.Даля гр. ПЕО-19зм</i>		

